

модуляции. Из рисунка можно сделать вывод, что сигнал записан на термопластике с меньшими искажениями по сравнению с предыдущим случаем.

В заключение отметим, что предлагаемый способ визуализации периодических сигналов свободен от ряда недостатков, свойственных теневым методам. При использовании теневых методов неизбежно возникают искажения сигналов, связанные с aberrациями линз, с дифракцией на линзах и экранах, расположенных между транспарантом и плоскостью наблюдения. Отсутствие этих элементов в предлагаемом методе облегчает настройку схемы и позволяет избежать дополнительных искажений.

## ЛИТЕРАТУРА

1. Niedemann E. A. and Breazeale M. A. Secondary interference in the Fresnel zone of cratings.—JOSA, 1959, vol. 49, N 4, p. 372.
2. Денисюк Ю. Н., Рамишвили Н. М., Чавчанидзе В. В. О возможности получения пространственных изображений двумерных объектов без помощи линз и голограмм.—«Опт. и спектр.», 1971, т. 30, № 6, с. 1130.
3. Зверев В. А. Радиооптика. М., «Сов. радио», 1975.
4. Градштейн И. С., Рыжик И. М. Таблица интегралов. М., Физматгиз, 1962.

Поступила в редакцию 19 мая 1977 г.;  
окончательный вариант — 18 июня 1978 г.

УДК 535.36 : 535.334

Л. Я. ГЕМБОМ, И. В. КАМЕНЕВ, М. Б. КУДРЯВЦЕВ

(Новосибирск)

## ОСОБЕННОСТИ РАССЕЯНИЯ ДВУХ ПЕРЕСЕКАЮЩИХСЯ ПУЧКОВ КОГЕРЕНТНОГО СВЕТА НА БИОЛОГИЧЕСКОЙ КЛЕТКЕ

В последнее время в практике автоматизированных исследований живой биологической клетки значительное распространение получили лазерные допплеровские измерители скорости (ЛДИС) [1], использующие два и более пересекающихся пучков лазерного света.

Известно, что информацию о свойствах рассеивателя света несет как допплеровская частота [2], так и амплитуда и фаза рассеянного света [3]. Настоящая статья посвящена анализу амплитуды допплеровского сигнала с целью выявления зависимости ее величины от размера и показателя преломления биологических клеток. Определение данной зависимости позволило бы расширить круг измеряемых параметров светорассеивающих микрочастиц при одном и том же количестве экспериментов, а также статистически учитывать взаимосвязь параметров.

Биологическую клетку можно рассматривать как сферу, оптические свойства которой слабо отличаются от оптических свойств окружающей среды, а размер  $d \gg \lambda$ , где  $\lambda$  — длина волны падающего на клетку света (модель «большой мягкой сферической частицы» [7]). Точное решение задачи рассеяния света в приближении сферических частиц дается теорией Ми. В работах [4, 5] показывается, что для диапазона изменения параметров рассеивающей системы, характерного для «больших мягких сферических частиц», могут быть найдены значительные упрощения гро-

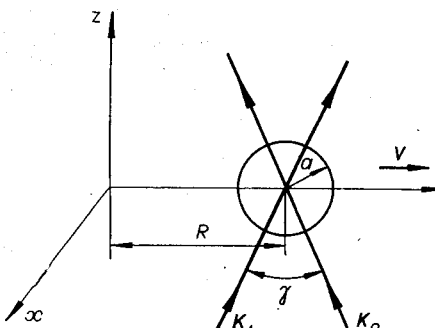


Рис. 1.

модельных формул Ми. Приближенные формулы, получающиеся при этом, хорошо согласуются с результатами, следующими из точной теории и экспериментов.

В данной работе используется теория приближения «больших мягких сфер» для случая рассеяния двух плоскополяризованных интерферирующих лазерных пучков различной интенсивности на биологических клетках, взвешенных в жидкости. Концентрация клеток при этом предполагается такой, что в области рассеяния в каждый момент времени

может находиться не более одной частицы. Эффекты неоднозначности [1], связанные с гауссовским характером распределения интенсивности света в направлении, перпендикулярном оси лазерного пучка, в данной статье специально не рассматривались. Область рассеяния предполагается равномерно освещенной. Принятая нами модель «больших мягких сферических частиц» подразумевает, что параметры рассеяния имеют следующие оценки пределов изменения: параметр дифракции  $\rho \gg 1$  ( $\rho = 2\pi a/\lambda$ ,  $a$  — радиус частицы,  $\lambda$  — длина волны света в среде), относительный показатель преломления  $m = 1 + 0(10^{-2})$ , параметр фазового сдвига  $\delta = 2\rho(m-1) \sim 1$ . Условия регистрации ослабленного клеткой излучения соответствуют схеме ЛДИС с опорным пучком [6]. При этом производится одновременное измерение интенсивности обоих рассеянных на клетке световых пучков.

Пусть на сферическую частицу радиуса  $a$  падают два пучка с волновыми векторами  $K_1, K_2$ , плоскополяризованные в направлении оси  $x$  (рис. 1),  $\gamma$  угол между векторами. Начало системы координат ( $x, y, z$ ) расположено в центре области рассеяния. Частица, движущаяся со скоростью  $V$  вдоль оси  $y$  через область пересечения пучков, в фиксированный момент времени находится на расстоянии  $R$  от центра области рассеяния. По аналогии с [4, гл. II] детектируемая энергия  $W$  в волновой зоне запишется в виде

$$W = (4\pi/K^2) I \operatorname{Re} \{ (1+g) S_1(0) + [g \exp(-iK_0 R) + \exp(iK_0 R)] S_1(\gamma) \},$$

где  $I$  — интенсивность опорного пучка,  $g$  — отношение амплитуд референтного и опорного пучков,  $K = 2\pi/\lambda$ ,  $K_0 = 2K \sin \gamma/2$ ,  $S_1$  — амплитудная функция рассеяния [4]. Выражение для коэффициента ослабления  $Q$  имеет вид

$$Q = \pi a^2 G, \quad (1)$$

где  $G$  — функция, определяемая выражением

$$G = (4/\rho^2(1+g^2)) \operatorname{Re} \{ (1+g) S_1(0) + [g \exp(-iK_0 R) + \exp(iK_0 R)] S_1(\gamma) \}. \quad (2)$$

При переходе от случая статического рассеивателя к динамическому, т. е. при замене  $R$  на  $Vt$ ,  $K_0 V$  на  $\Omega_d$  ( $\Omega_d$  — допплеровская частота), функцию  $G$  можно представить в виде

$$G = A + B \cos(\Omega_d t + \Phi). \quad (3)$$

Здесь  $A$  и  $B$  — амплитуды постоянной и переменной во времени состав-

ляющих  $G$ ,  $\Phi$  — фаза допплеровской модуляции, описываемые выражениями

$$\begin{aligned} A &= 4(1+g)\operatorname{Re}\{S_1(0)\}/\rho^2(1+g^2); \\ B &= 4\{(g+1)^2[\operatorname{Re}S_1(\gamma)]^2 + (g-1)^2[\operatorname{Im}S_1(\gamma)]^2\}^{1/2}/\rho^2(1+g^2); \\ \operatorname{tg} \Phi &= (g-1)\operatorname{Im}\{S_1(\gamma)\}/(g+1)\operatorname{Re}\{S_1(\gamma)\}. \end{aligned} \quad (4)$$

В работе [5] показывается, что в приближении «больших мягких сферических частиц»  $S_1(0)$  можно представить в виде

$$S_1(0) = \rho^2 R(i\delta), \quad (5)$$

где  $R(z) = 1/2 + \exp(-z)/z + [\exp(-z) - 1]/z^2$ . Выражение для  $S_1(\gamma)$  может быть получено следующим образом. Приведем точный вид  $S_1(\gamma)$ , получающийся из теории Ми [4]:

$$S_1(\gamma) = \sum_{n=1}^{\infty} \frac{2n+1}{n(n+1)} \{a_n \pi_n(\cos \gamma) + b_n \tau_n(\cos \gamma)\}, \quad (6)$$

где  $a_n$ ,  $b_n$  — коэффициенты парциальных волн;  $\pi_n$ ,  $\tau_n$  — функция рассеяния Ми.

Суммирование в (7) эффективно до  $n \sim \rho \gg 1$ . Пользуясь разложениями [7] функций  $\pi_n$  и  $\tau_n$  для  $n \gg 1$ , имеем при  $\rho\gamma \gg 1$ ,  $\sin \gamma \approx \gamma$

$$\tau_n(\gamma) = (n+1/2)^2 J_0[(n+1/2)\gamma], \quad \pi_n(\gamma) \ll \tau_n(\gamma),$$

где  $J_0$  — функция Бесселя нулевого порядка. Вкладом  $\pi_n$  в  $S_1(\gamma)$  можно пренебречь.

Переходя от  $n$  к дебаевским углам на основании соотношения ( $\cos \varphi = (n+1/2)/\rho$ ), получаем

$$\begin{aligned} \tau(\gamma) &= \rho^2 \cos^2 \varphi J_0(\rho\gamma \cos \varphi); \\ (2n+1)/n(n+1) &= 2/\rho \cos \varphi. \end{aligned} \quad (7)$$

Коэффициенты  $b_n$  связаны с  $\varphi$  и  $\delta$  выражением [5]

$$b(\varphi) = (1/2)[1 - \exp(-i\delta \sin \varphi)]. \quad (8)$$

Переходя в (6) от суммирования к интегрированию по  $\varphi$ , получаем с учетом (7), (8)

$$S_1(\gamma) = \rho^2 \int_0^{\pi/2} [1 - \exp(-i\delta \cos \varphi)] J_0(\rho\gamma \sin \varphi) \sin \varphi \cos \varphi d\varphi. \quad (9)$$

Выражение (9) представляет второй интеграл Сонина при  $n=1/2$ ,  $m=0$  [8], реальная и мнимая части которого имеют вид

$$\begin{aligned} \operatorname{Re} S_1(\gamma)/\rho^2 &= \delta^2 J_2(\rho\gamma)/(\rho\gamma)^2 - \delta^4 J_3(\rho\gamma)/3(\rho\gamma)^3 + 0\{(\rho\gamma)^{-4}\}; \\ \operatorname{Im} S_1(\gamma)/\rho^2 &= \delta (\pi y/2)^{1/2} J_{3/2}(y)/y^2, \end{aligned} \quad (10)$$

где  $y = [\delta^2 + (\rho\gamma)^2]^{1/2}$ .

Производился численный расчет амплитуд  $A$  и  $B$  из соотношений (4), (5) и (10) в диапазоне значений  $\rho=20 \div 100$ ;  $\delta=0,5 \div 6$ ;  $\gamma=0,01 \div 0,21$ ;  $g=1 \div 21$ . Для того же диапазона изменения параметров вычислялись  $A$  и  $B$  как функции  $\delta$  по точным формулам Ми [9]. Поскольку выражения (10) верны в случае  $\rho\gamma \gg \delta$  (область применения ограничена  $\rho\gamma \approx$ )

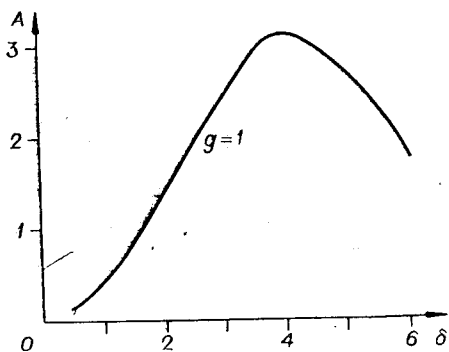


Рис. 2.

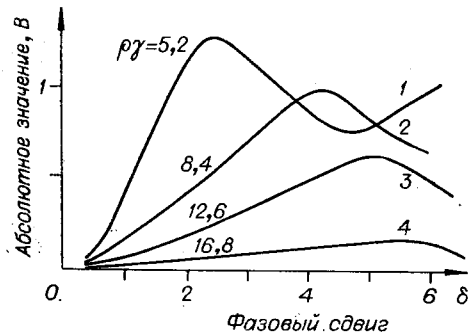


Рис. 3.

$\approx 4 \div 5$ ), аппроксимации графиков на интервале  $0 < \rho\gamma < 5$  рассчитываются по точным формулам рассеяния. Результаты машинного анализа представлены на рис. 2 и 3. Как видно из графиков, как для  $A$ , так и для  $B$  существует область монотонной зависимости от  $\delta$ . Для  $A$  эта область ограничена сверху  $\delta \approx 4$ . Для  $B$  существенной является зависимость величины области однозначности от параметров  $\rho$  и  $\gamma$ . При  $\rho\gamma \gg \delta$  получаем  $B \sim \delta \cos [\delta^2 + (\rho\gamma)^2]^{1/2}$ , т. е. вследствие слабой зависимости  $\cos [\delta^2 + (\rho\gamma)^2]^{1/2}$  от  $\delta$  однозначное сопоставление  $B$  и  $\delta$  возможно на значительном интервале. Уменьшение  $\rho\gamma$  требует учета в (10) следующих членов разложения, что приводит к сужению области монотонной зависимости  $B$  от  $\delta$ . При этом сами значения  $B$  возрастают по абсолютной величине. Таким образом, получаем ограничения максимального и минимального аппаратурного угла  $\gamma$  (если учесть, что диапазон изменения  $\rho$  достаточно узок). Верхний предел определяется необходимостью выделения амплитуды модуляции на уровне шумов системы (см. рис. 3, графики 3, 4), нижний — повышением информативности, однозначности амплитуды допплеровского сигнала (см. рис. 3, графики 1, 2).

Остановимся на зависимости глубины модуляции рассеянного излучения, принимаемого фотоэлементом, от аппаратурного параметра  $g$ .

Для этого запишем функцию видности  $V = B/A$ , имеющую с учетом (4) вид

$$V = V_0 \{1 + [(g-1)V_0^{-1} \operatorname{Im} S_1(\gamma)/(g+1) \operatorname{Re} S_1(\gamma)]^2\}^{1/2}, \quad (11)$$

где  $V_0$  — функция видности в случае  $g=1$  (интенсивности падающих на частицу световых пучков равны):

$$V_0 = \operatorname{Re}\{S_1(\gamma)\}/\operatorname{Re}\{S_1(0)\}. \quad (12)$$

Производился численный расчет  $V_0$  и  $V$  по формулам (5), (10), (11) с экстраполяцией в область малых  $\rho\gamma$  по точным формулам рассеяния

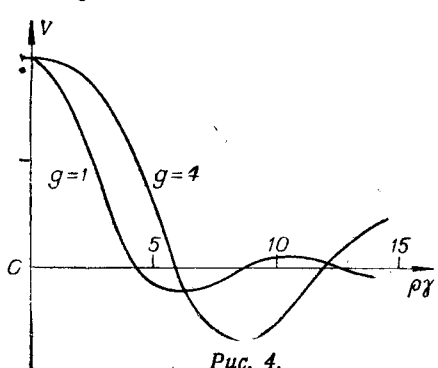


Рис. 4.

Мы для различных значений параметра  $g$ . Результаты машинного анализа представлены на рис. 4. Из графика видно, что при  $g \sim 1$  значительная глубина модуляции достигается в области малых  $\rho\gamma$  (размер рассеивателя меньше или порядка ширины интерференционной полосы). Для биологических клеток имеет место  $\rho\gamma \gg 1$ . В этом случае функция  $V$  убывает медленнее при  $g \gg 1$ , нежели в случае  $g \sim 1$ . Неограниченное увеличение  $g$ , однако, приводит

к убыванию абсолютных значений  $A$  и  $B$ , как  $1/g$ , что ведет к уменьшению соотношения сигнал/шум. Сопоставление численных расчетов с параметрами установки ЛДИС [2, 6] показало, что для значений  $\rho$ ,  $\delta$ , характерных для 95%-ных биологических клеток культур ткани (штаммы  $L$ , МТР) и угла между опорным и референтным пучками ЛДИС  $\gamma < 5^\circ$  (размер клеток  $d > 10\lambda$ ), наиболее целесообразен выбор значений  $g = 4 \div 6$ .

Предложенная методика может быть использована при статистической обработке допплеровского сигнала в биологическом эксперименте с целью повышения ее информативности и точности. Приведенные результаты могут быть также полезны при аппаратурной настройке допплеровских установок с опорным пучком.

Авторы выражают благодарность Л. А. Андрианову и В. С. Киричуку за полезные обсуждения.

#### ЛИТЕРАТУРА

- Янков В. П. Исследование параметров аэрозольных частиц в измерительном объеме ЛДИСа.— В кн.: Лазерное допплеровское измерение скорости газовых потоков. Рассеивающие частицы. Аэродинамические исследования, № 2. Вып. 1755. М., изд. ЦАГИ, 1976.
- Андранинов Л. А., Кудрявцев М. Б. Использование метода лазерной допплеровской спектроскопии в седиментационном анализе. Препринт, № 44. Новосибирск, изд. ИАиЭ, 1977.
- Adrian R. J., Orloff K. L. Laser anemometer signals: visibility characteristics and application to particle sizing.— "Appl. Opt.", 1977, vol. 16, N 3, p. 677.
- Van de Хюлст Г. Рассеяние света малыми частицами. М., ИЛ, 1961.
- Буренков В. И., Копелевич О. В., Шифрин К. С. Рассеяние света крупными частицами с показателем преломления, близким к единице.— «Изв. АН СССР. Сер. ФАО», 1975, т. 11, № 8, с. 828.
- Андранинов Л. А., Кудрявцев М. Б. Способ седиментационного анализа.— Авт. свид.-во № 488118, БИ, 1975, № 38.
- Шифрин К. С. Рассеяние света в мутной среде. М.— Л., Гос. изд. техн.-теор. лит., 1951.
- Уиттекер Э. Т., Ватсон Д. Н. Курс современного анализа. Ч. II. М., Физматгиз, 1963.
- Chu W. P., Robinson D. M. Scattering from a moving spherical particle by two crossed coherent plane waves.— "Appl. Opt.", 1977, vol. 16, N 3, p. 619.

Поступила в редакцию 3 января 1978 г.;  
окончательный вариант — 2 июня 1978 г.

УДК 539.216 : 537.311.33 : 535.34

В. А. ГРИЦЕНКО, Е. Е. МЕЕРСОН, Я. О. РОЙЗИН,  
К. К. СВИТАШЕВ  
(Новосибирск)

#### ПЕРЕХОД МЕТАЛЛ—НЕМЕТАЛЛ В ПЛЕНКАХ ОКИСИ ВОЛЬФРАМА ПРИ ИЗМЕНЕНИИ СТЕПЕНИ ОКРАСКИ

Электрохромный эффект в пленках  $WO_3$  привлекает в последнее время внимание исследователей в связи с перспективами использования таких пленок в качестве основы малогабаритных дисплеев, управляемых транспарантов для записи голограмм, элементов памяти и др. [1—3]. Уже существующие приборы такого типа превосходят аналогичные